

06.1;06.2;06.3;12

©1994

**ВЛИЯНИЕ ВОДОРОДА
НА ФОТОВОЛЬТАИЧЕСКУЮ И ФОТОДИОДНУЮ
ЧУВСТВИТЕЛЬНОСТЬ ТУННЕЛЬНЫХ
СТРУКТУР Pd-SiO₂-n(p)-Si**

С.В. Слободчиков, Г.Г. Ковалевская, Х.М. Салихов

Ранее в [1] были изложены результаты экспериментальных исследований по использованию фоточувствительных туннельных диодных структур Pd-SiO₂-n(p)-Si как детекторов водорода. Было показано, что изменение фотоэдс в атмосфере водорода может почти на два порядка превосходить изменение темнового тока, и Si-МДП фотодетектор может служить эффективным детектором водорода. В [2] выявлено умножение фототока в этих структурах при обратном смещении, достигающее величин $\sim 10-100$. В настоящем сообщении приведены данные по влиянию водорода на фотоответ в фотовольтаическом (без смещения) и фотодиодном (при обратном смещении) режимах, позволяющие сделать сравнительную оценку обоих для измерения концентрации водорода и водородосодержащих газов.

Туннельные диодные структуры Pd-SiO₂-n(p)-Si создавались, как и в [1,2], на кристаллах n-Si с $\rho = 7.5 \text{ Ом} \cdot \text{см}$ и ориентацией (111), и p-Si с $\rho = 1 \text{ Ом} \cdot \text{см}$ ориентации (100). Слои SiO₂ выращивались в результате выдержки на воздухе кристаллов при комнатной температуре и толщина их была в пределах 22–24 Å. Палладий наносился напылением в вакууме и толщина его слоев составляла 400–500 Å. Измерялся фотоответ при освещении монохроматическим светом с $\lambda = 0.90 \text{ мкм}$. На рис. 1,6 представлены зависимости фототока короткого замыкания от обратного смещения для двух образцов туннельных структур Pd-SiO₂-n-Si, снятые на воздухе без водорода (кривые 1, 2) и при импульсном воздействии H₂ (кривые 3, 4). Примечательным для этих кривых является характер изменения фототока в атмосфере H₂: если в фотовольтаическом режиме и малых смещениях фототок убывает, то при более высоких напряжениях наблюдается его резкое возрастание. Совершенно противоположная картина изменения фототока в атмосфере водорода характерна для туннельных структур Pd-SiO₂-p-Si (рис. 2).

Остановимся вначале на фотовольтаическом режиме измерений в образцах Pd-SiO₂-n-Si. Изменение фотоэдс ра-

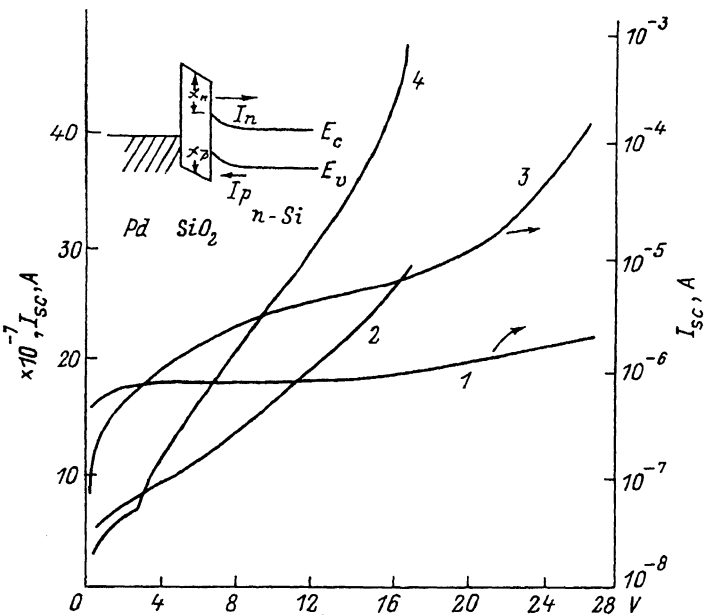


Рис. 1.

a — зонная схема структуры $Pd-SiO_2-n-Si$;
б — зависимость фототока от обратного смещения для двух образцов туннельных диодных структур $Pd-SiO_2-n-Si$: образец 1 — кривые 1 (без H_2) и 3 (с H_2); образец 2 — кривые 2 (без H_2) и 4 (с H_2).

замкнутой цепи под влиянием водорода для образца 1, например, составляет $V_{oc}^0/V_{oc}^{H_2} \approx 66$. Поскольку $V_{oc} \approx I_{sc} R_0$, то это изменение может быть связано с уменьшением как тока короткого замыкания I_{sc} , так и дифференциального сопротивления в нуле смещения R_0 . Падение I_{sc} для того же образца 1 составляет $I_{sc}^0/I_{sc}^{H_2} \approx 7.5$, и тогда $R_0^0/R_0^{H_2} \approx 9$. Подобный же характер изменений этих параметров наблюдается и в образце 2.

Эти результаты могут быть объяснены с учетом изменений высот барьера для неосновных и основных носителей тока. Ток короткого замыкания, обусловленный неосновными носителями, дырками, может быть представлен [3]

$$I_{sc} \approx \frac{I_{sco}}{1 + D_s \sigma_p f_s \exp(b_p \chi_p^{1/2} d)}, \quad (1)$$

где I_{sco} — ток при толщине SiO_2 $d = 0$, D_s — плотность поверхностных состояний, σ_p — сечение захвата дырок, f_s — вероятность заполнения для поверхностных состояний, b_p — константа туннелирования, χ_p — высота барьера для дырок.

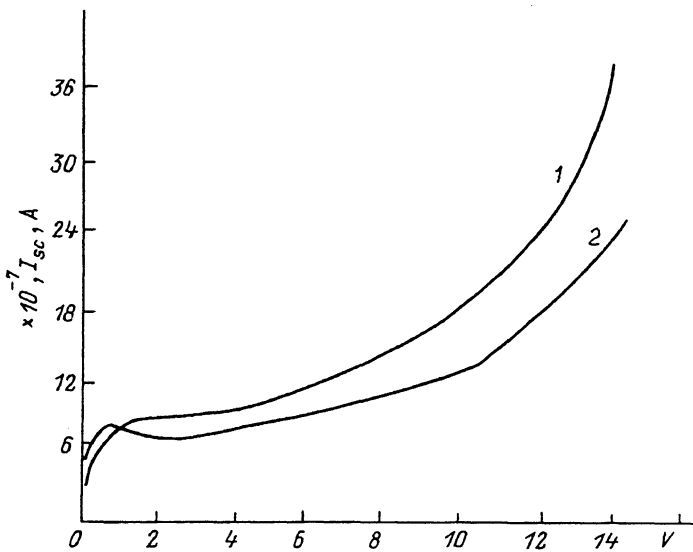


Рис. 2. Зависимость фототока от обратного смещения туннельной структуры Pd—SiO₂—p-Si:
кривая 1 — без H₂, кривая 2 — с H₂.

Как показали измерения вольтемкостных характеристик [1], высоты барьеров χ_n и χ_p (рис. 1, а) в атмосфере водорода изменяются вследствие уменьшения работы выхода палладия: без H₂ $\chi_n = 3.25$ эВ, $\chi_p = 3.65$ эВ [3] и $\chi_n = 2.75$ эВ, $\chi_p = 4.17$ эВ — в атмосфере H₂. В этой связи оценка $I_{sc}^0/I_{sc}^{H_2}$ по (1) с $b = 0.51$ и $d = 24$ Å при условии, что $D_s \sigma_p f_s \exp(b_p \chi_p^{1/2} d) \gg 1$, дает значение ≈ 32 , что превышает в 4 раза экспериментальное значение для образца 1 и лишь на 70% для образца 2. Это несоответствие можно отнести за счет изменения предэкспоненциального множителя $D_s \sigma_p f_s$, так как в некоторых работах [4, 5] подчеркивалось изменение плотности поверхностных состояний в интерфейсе и образование новых уровней ловушек в атмосфере H₂, естественно с другими значениями σ_p и f_s .

Очевидно, что дифференциальное сопротивление, определяемое основными носителями (электронами), $R_0 \sim \sim \exp(b_n \chi_n^{1/2} d)$ и оценка изменения его $R_0^0/R_0^{H_2}$ дает значение ≈ 10 в хорошем соответствии с экспериментом.

Аналогичный анализ может быть применен и в отношении структур Pd—SiO₂—p-Si с учетом, однако, обратного изменения высот барьеров из-за возрастания работы выхода

палладия в атмосфере H_2 . Приложение обратного смещения, как было показано в [2], приводит к эффекту умножения фототока в исследованных туннельных структурах. Из рис. 1 и 2 следует, что это усиление фототока характерно и для газовой сферы с водородом, хотя и с другими численными значениями. Коэффициент усиления, например, для структур $Pd-SiO_2-n-Si$ определяется как $M = 1 + I_n/I_p$ и теоретически при значениях высот барьера, характерных для наших структур, не может быть рассчитан [2]. Вследствие изменения высот барьера $Pd-SiO_2$ и SiO_2-Si в газовой смеси с водородом кривые фототока на рис. 1 и 2 можно формально рассматривать как принадлежащие к структурам с металлами, различающимися работами выхода. При этом структура $Pd-SiO_2-n-Si$ имеет более оптимальное соотношение высот барьера, и коэффициент усиления (в частности, для образца 1) составляет $M = 2700$ в атмосфере H_2 . Для структур $Pd-SiO_2-p-Si$ изменение высот барьера в водороде менее благоприятно, и усиление фототока невелико $\sim 6 - 10$ и снижено по сравнению с измеренными значениями в газовой среде без H_2 .

Относительно слабый рост фототока в этих структурах при невысоких смещениях, вероятно, связан со значительным вкладом генерационно-рекомбинационной компоненты тока области истощения в общий ток $I = I_{g-r} + I_{tun}$, и только после 12–14 В $I_{tun} \gg I_{g-r}$.

Таким образом, оценивая оба способа детектирования водорода с помощью туннельных структур $Pd-SiO_2-n(p)-Si$, отметим следующее. В фотовольтаическом режиме чувствительность структур на основе $n-Si$, как отмечалось и ранее в [1], выше, чем на основе $p-Si$. Усиление фототока в фотодиодном режиме для первых структур в атмосфере H_2 также существенно выше, чем во вторых. В обоих режимах это превосходство составляет почти порядок величины. Далее, уже в предпочтительных структурах $Pd-SiO_2-n-Si$ чувствительность по абсолютной величине выше в фотодиодном режиме в условиях высокого умножения носителей тока при оптимальном обратном смещении. Недостатком метода является необходимость приложения этого смещения, и поэтому, в зависимости от конкретных условий применения, фотовольтаический режим может иметь преимущества, учитывая, что при оптимизации технологии чувствительность может быть очень высока, как отмечалось в [1].

Список литературы

- [1] Ковалевская Г.Г., Мередов М.М., Руссу Е.В., Салихов Х.М., Слободчиков С.В. // ЖТФ. 1993. Т. 63. В. 2. С. 185–190.
- [2] Слободчиков С.В., Ковалевская Г.Г., Пенцов А.В., Салихов Х.М. // ФТП. 1993. Т. 27. В. 7. С. 1213–1216.
- [3] Srivastava G.P., Bhatnagar P.K., Dhariwal S.R. Sol.-St. Electr. 1979. V. 22. P. 581–587.
- [4] Keramati B., Zemel J.N. // J. Appl. Phys. 1982. V. 53. N 2. P. 1091.
- [5] Petty M.C. // Electr. Lett. 1982. V. 18. N 8. P. 314.

Физико-технический институт
им. А.Ф.Иоффе
Санкт-Петербург

Поступило в Редакцию
30 ноября 1993 г.
В окончательной редакции
1 апреля 1994 г.
